

蓄積交換網におけるルート選択方式と評価シミュレーション

西垣 通, 池田 智明, 池ヶ谷 浩
(日立製作所システム開発研究所)

1. はじめに

データ通信のための蓄積交換網において、メッセージはルート選択方式により定められるルートに沿って転送される。Periodic Updating 方式³⁾, Shortest Queue plus Bias 方式等に代表される適応型ルート選択方式は、トラフィックの変動に対応して動的にルートを与える方式であり、高性能が期待できることから注目されている¹⁾。適応型ルート選択方式の大きな欠点は、メッセージが複数のネットワーク・ノード間で循還するループ現象が発生し、この結果、性能および転送の確実性が損われる可能性があることである。Last M Nodes Visited 方式²⁾は、これを防止しようとするものであるが、一定数($M+2$)以上のネットワーク・ノード間を循還するループ現象に対しては効果がない。

本報告では、ループ現象を完全に防止した、適応ループ・フリー方式とよぶ新しい適応型ルート選択方式を提示する。適応ループ・フリー方式においては、各ネットワーク・ノードを、宛先ノードに到るまでに経由するノード数の最小値により、相異なる集合に分類する。最小にすべき目標函数としては、メッセージが、現在存在する集合から一段階宛先ノードに近い集合に到るまでの時間とする。メッセージが同一の集合内に長時間滞留したり、宛先ノードからより遠い集合に転送されることを禁ずることにより、ループ現象の発生が防止される。

2. 蓄積交換網におけるルート選択

現在ノード A に存在し、宛先がノード Z であるメッセージに着目する。各ノードは、以下に定義される直和集合のいずれかの元となる。(なお、ここで、すべての回線は同一容量と仮定する。)

$$\Omega(Z, n) \triangleq \{ \text{ノード} | \text{出発したメッセージは、最小 } n \text{ ホップで } Z \text{ に到着} \} \quad (1)$$

$(n = 0, 1, 2, \dots)$

いかなるノードも、ネットワーク内の宛先ノード数に等しい数の、相異なる集合に属する。

ノード A が $\Omega(Z, n)$ に属すと仮定するとき、 $\Omega(Z, n)$ の部分集合 $\omega(Z, n, A)$ を次のようく定義する。

$$\omega(Z, n, A) \triangleq \{ \text{ノード} | \Omega(Z, n) \text{ の元で } A \text{ と直接結ばれている} \} \quad (2)$$

ここで、次式がなりたつ。

$$\omega(Z, n, A) = \{ \emptyset \} \quad n \neq n-1, n, n+1 \quad (3)$$

メッセージが、 Ω に属するいずれかのノードに最初に到着した時刻を $T(n)$ とするととき、 $T(n-1)$ と $T(n)$ との時間間隔を $d(n)$ と表わす。メッセージが、ノード A からノード Z に転送される時間 θ は、次式で与えられる。

$$\theta = d(n) + d(n-1) + \dots + d(m) + \dots + d(1) \quad (4)$$

$\Omega(\Sigma, n)$ に属するノードから、宛先ノード S に到る最適ルートは、 ϑ を最小にするものである。しかし、 $d(m)$ ($m = 1, 2, \dots, n$) は、未来の状態に依存する未知変数であり、最適解を常に与えるようなアルゴリズムは存在しない。Periodic Updating 方式では、 $\vartheta \rightarrow \min$ を目標とするが、予測の誤りのため、達成されるとは限らない。 ϑ に比べて $d(n)$ の予測の誤りは比較的小さいため、本報告で提示する適応ループ・フリー方式では、 ϑ のかわりに $d(n)$ を、最小にすべき目標函数とする。局所的最適化という点では、Shortest Queue plus Bias 方式と類似している。

$d(n) \rightarrow \min$ が $\vartheta \rightarrow \min$ と一致するのは、 $\Omega(\Sigma, m)$ 内のノードが互いに連結されており、しかもそれらのノード間での転送時間が無視できる場合である。逆に、 $\Omega(\Sigma, m)$ 内のノードが互いに連結されていないような場合、 $d(n) \rightarrow \min$ と $\vartheta \rightarrow \min$ とは必ずしも一致しない。

ループ現象は、メッセージが $\Omega(\Sigma, n)$ 内のノードを 3 回以上通過したり、 $\Omega(\Sigma, n)$ ($n > n$) 内のノードに転送されることから発生する。したがって、これを禁ずることにより、ループ現象を抑止することが可能である。

3. 適応ループ・フリー方式 (Adaptive Loop Free - ALF)

3.1 ルート選択のアルゴリズム

適応ループ・フリー方式を提示する。以下、ルートを選択すべきメッセージは、宛先ノードが Σ であり、 $\Omega(\Sigma, n)$ 内のノード A に存在すると仮定する。

まず、 $Q(l)$ ($l = -1, 0, 1$) を定義する。

$$Q(l) \triangleq \min_{S \in \omega(\Sigma, n+l, A)} \{ \text{ノード } A \text{ よりノード } S \text{ への転送遅れ} \} \quad (l = -1, 0, 1) \quad (5)$$

転送遅れは、ノード S へ送信するための出力キューに並んだメッセージの数により与えられる。 $Q(-1)$ ないし $Q(0)$ は、メッセージが次に送られるべきノードへの転送遅れである。前者は最短路、後者は迂回路に対応する。いずれを選択するかの基準となるのが、式(6)である。図 1 を参照されたい。

$$\min\{Q(-1), Q(0) + \hat{Q}(-1)\} \quad (6)$$

$Q(-1), Q(0) + \hat{Q}(-1)$ は、それぞれ、最短路、迂回路を介して $\Omega(\Sigma, n-1)$ に転送された場合の転送遅れを表わす。 $Q(-1)$ は、式(5)において、ノード A のかわりに A の隣接ノード B を代入

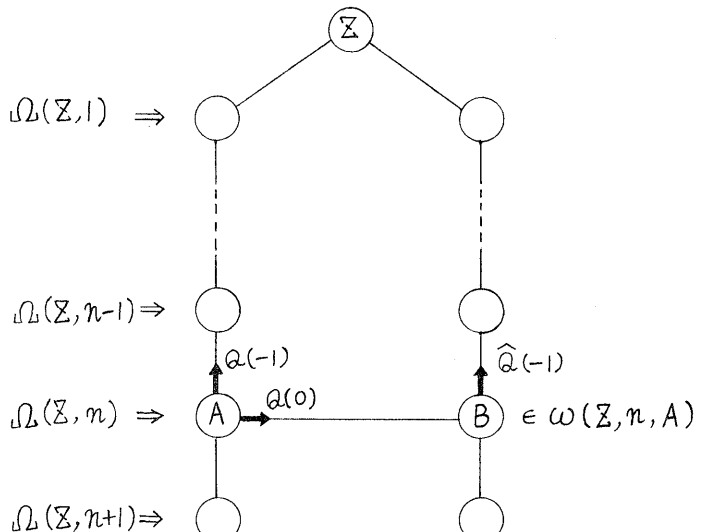


図 1. 適応ループ・フリー方式におけるルート選択

し， $\ell = -1$ においてえられる $Q(-1; B)$ の推定値を表わす。ただし，B は A からの転送遅れが $Q(0)$ に対応する， $\omega(Z, n, A)$ 内のノードである。

なお， $\omega(Z, n, A)$ が空集合のときは，最短路がただちに選ばれる。

迂回路を介して到着したメッセージに対しては，無条件で最短路が選ばれる。この理由は，式(6)において，迂回路の直後には最短路をとることが仮定されているためである。この結果， $\Omega(Z, n)$ 内のノードから Z に到るまでに通過するノードの数はたかだか $2n$ 個であり，ループ現象は完全に防止される。

以上のべたアルゴリズムは， $d(n) \rightarrow \min$ をみたす最適解とは限らないが，実用上さしつかえない程度にこれと近い解を与えることができる。

3.2 $\hat{Q}(-1)$ の推定方式

式(6)における $\hat{Q}(-1)$ の推定法について以下述べる。隣接ノード B の状態にかかわらず，これを一定値とする方法と，B の状態を B から常時知らせてもらう方法が考えられる。前者は Shortest Queue plus Bias 方式と類似の方法であるが，予測の精度が低下する。後者は Periodic Updating 方式と類似の方法であるが，トラフィック・オーバヘッドが問題となる。

本方式では，B より A に迂回路をとるメッセージに，その時刻における最短路の転送遅れ $Q(-1; B)$ を付加することにより，できるだけ小さいオーバヘッドで隣接ノード B の状態を知らせてもらう。いま，時刻 $t_0, t_{0-1} (= t_0 - \Delta t)$ における $Q(-1; B)$ の推定値をそれぞれ $\hat{Q}_j(-1)$ ， $\hat{Q}_{j-1}(-1)$ とし， t_{0-1} ～ t_0 の間にノード B から到着した最後の迂回メッセージに付加されていた転送遅れを $Q_j(-1; B)$ とする。 $\hat{Q}_j(-1)$ は， Δt ごとに次式により算出される。

$$\begin{cases} \hat{Q}_j(-1) = (1-\theta) \cdot Q_j(-1; B) + \theta \cdot \hat{Q}_{j-1}(-1) \\ \hat{Q}_0(-1) = 0 \end{cases} \quad (\theta: \text{const}, 0 < \theta < 1) \quad (7)$$

式(7)を書き直すと，

$$\hat{Q}_j(-1) = (1-\theta) \cdot \sum_{u=0}^{j-1} \theta^u \cdot Q_{j-u}(-1; B) \quad (8)$$

であるから，結局，過去の重みつき平均で未来の値を予測することになる。

ノード B では，前回 A に迂回メッセージを送ってから Δt 経過したとき， $Q(-1; B) \neq 0$ の場合に限り，この値を付加した特別のメッセージを A に送る。 $Q(-1; B) = 0$ の場合は何も送らない。したがって，A では， t_{0-1} ～ t_0 の間に $Q_j(-1; B)$ の情報をうけとらなければ， $Q_j(-1; B) = 0$ とみなして $\hat{Q}_j(-1)$ を算出する。Periodic Updating 方式では，定期的に，すべての宛先ノードに関する転送遅れ予測値であるアップデート・ベクトルを送るのにに対し，本方式で送られる情報は，1 つの出力キューの待ち合わせ数にすぎない。したがって，迂回メッセージにたかだか 8 ビット程度の情報を附加すればよい。また，迂回メッセージが全く送られない場合は， $Q(-1; B) = 0$ の確率が大きいと予想されるので，これを送るためのトラフィック・オーバヘッドは比較的小さいとみなすことができる。

3.3 ネットワーク・トポロジの変動に対する適応

回線やノードの障害発生にともなうネットワーク・トポロジの変動に対する適応性について述べる。適応ループ・フリー方式においては，各ノードはネットワーク・トポロジを知っている必要はなく，各宛先ノードに関して，自ノードならびに隣接ノードの属す集合 Ω を知っていればよい。これらは，ネットワークの初期設定時，回線やノードの障害発生／回復時，ネットワーク・トポロジ変更時等

に、動的に学習される。

学習のアルゴリズムは、ARPAネットワークにおいて、ノードの「disconnection」を探知するために行っている方法と全く同一である³⁾。ただし、ARPAネットワークでは、これを定期的に行うが、適応ループ・フリー方式においては、障害や変更など、必要が生じた時まで実行する。

4. シミュレーション評価

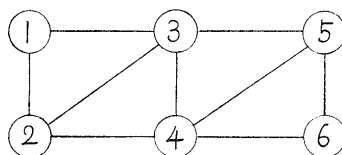
適応ループ・フリー方式の性能を、従来の代表的な適応型ルート選択方式であり、かつ実際に使用されている Periodic Updating 方式、Shortest Queue plus Bias 方式と比較した。(なお、以下、適応ループ・フリー方式を ALF 方式 - Adaptive Loop Free 方式、Periodic Updating 方式を PUL 方式、Shortest Queue plus Bias 方式を SQ+B 方式と略記する。) 図2に示す3種類のネットワークについてシミュレーションを実行し、検討を行った。

ALF 方式のごとく $d(n)$ の最小化を目標とする方式が効果を發揮するのは、同じ山に属する各ノードどうしが互いに連結されている場合の多いネットワークである。逆に、これらが連結されていないネットワークにおいては、ALF 方式のような $d(n)$ の最小化を目標とする方式が有効であると考えられる。前者の例として、図2の梯形ネットワーク、後者の例として、図2の環形 (1) 梯形ネットワーク

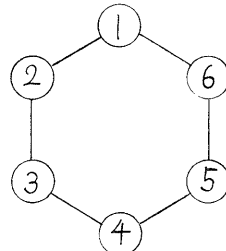
ネットワークを採用する。また、現実的な場合として、図2の日本列島形ネットワークについて検討する。これは、日本の代表的な都市を結ぶネットワークを想定したものであり、ノード1は東京、ノード2は仙台、ノード3は名古屋、ノード4は金沢、ノード5は札幌、ノード6は大阪、ノード7は広島、ノード8は北九州市に対応する。

これらのネットワークにおいて、各ノードは、容量 4800 bit/sec の全 2 重回線で結ばれており、固定長 500 bit のメッセージが、ポアソン分布にしたがってネットワークに流入すると仮定する。

性能評価実行に際し、各種のパラメータの値は、中程度の負荷のもとでメッセージの平均転送時間が最も小さくなるように設定した。これらのパラメータは、 θ , Δt , D_p バイアス¹⁾, Periodic Update Rate¹⁾ などである。



(2) 環形ネットワーク



(3) 日本列島形ネットワーク

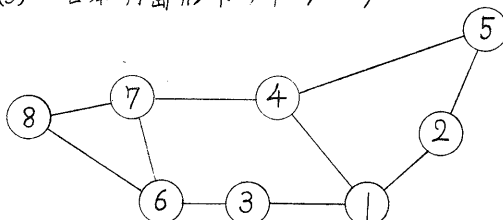


図2. 考察したネットワーク

4.1 梯形ネットワーク

(1) 負荷が一様な場合

梯形ネットワークの場合について、3種類のルート選択方式のもとでの平均転送時間(メッセージが発信元ノードを出発してから宛先ノードに到着するまでの平均時間間隔)を、負荷(ネットワークに単位時間当たりに流入するメッセージ量 bit/sec)の函数として表したのが図3である。ここで、負荷は「一様」であると仮定する。一様であるとは、ネットワーク内の任意の2ノード間のトラフィック量を表わす6行6列のトラフィック・マトリックスにおいて、対角要素($=0$)以外の要素がすべて等しいことを意味する。

負荷が高くなるにつれ、P.U.方式は、A.L.F.方式やS.Q.+B.方式よりも、平均転送時間が増大する。高負荷状態(30,000 bit/sec)において、A.L.F.方式、S.Q.+B.方式の平均転送時間は、P.U.方式よりも11~12%小さい。この理由を示すのが表1である。

表1は、負荷30,000 bit/secの場合について、平均ホップ数と出力キュー平均滞在時間とを示している。平均ホップ数とは、発信元ノードから宛先ノードにたどりつくまでに経由した回線数の平均値である。出力キュー平均滞在時間とは、メッセージが出力キューに並んだ時刻から転送終了するまでの時間の平均値である。A.L.F.方式の場合、S.Q.+B.方式と比べて、平均ホップ数が増加しているが、出力キュー平均滞在時間が減少しており、迂回路の選択による効果があらわしている。しかし、P.U.方式におけるように、両者がともにS.Q.+B.方式より増加していることは、ループ現象もしくは不適切な迂回が行われたことを示唆している。

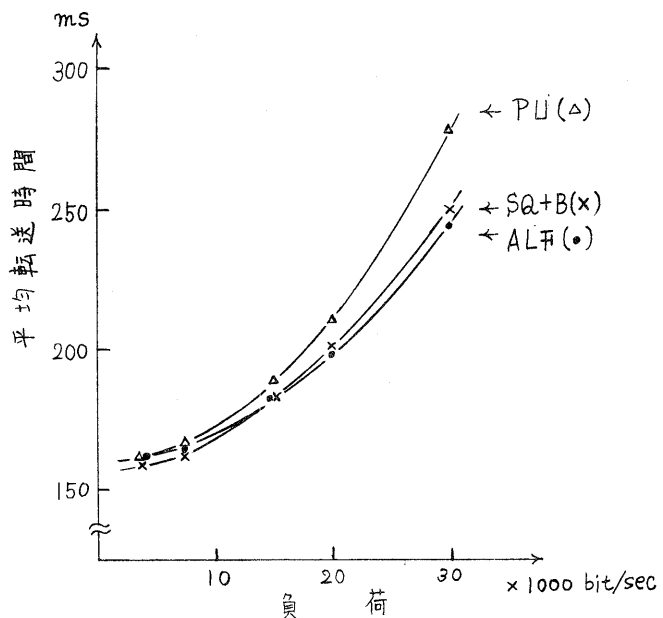


図3. 梯形ネットワークにおける平均転送時間

表1. 梯形ネットワークにおける性能比較

(1) 負荷が一様な場合 (30,000 bit/sec)			
	S.Q.+B.	P.U.	A.L.F.
平均ホップ数	1.75	1.89	1.82
出力キュー平均滞在時間 (ms)	142	147	135
(2) 負荷に偏りがある場合 (4→3 / その他 = 16/1)			
	S.Q.+B.	P.U.	A.L.F.
平均転送時間 (ms)	159	168	154
平均ホップ数	1.35	1.44	1.41
平均転送時間(4→3) (ms)	145	151	136
平均ホップ数(4→3)	1.10	1.20	1.21
出力キュー 4→3 の平均滞在時間 (ms)	135	130	119

(2) 負荷に偏りがある場合

梯形ネットワークにおいて、トラフィックに偏りがある場合につき測定した結果を、表1にあわせて示す。6行6列のトラフィック・マトリックスにおいて、オ4行オ3列の要素、すなわちノード4からノード3に到るトラフィックのみ4メッセージ/sec、対角要素を除くそれ以外の要素は0.25メッセージ/secとする。

表1には、ネットワーク全体の性能データに加えて、ノード4からノード3に到るトラフィックに関するデータが示してある。これに着目すれば、ALF方式とその他の2方式との性能上の差異は明らかである。同トラフィックに関する平均ホップ数に示されているように、ALF方式とPLU方式とは、迂回の発生率はほぼ等しい。しかし、前者は後者よりノード4→3の出力キューの平均滞在時間が小さく、この結果、同トラフィックに関する平均転送時間も減少している。また、SQ+B方式は、ALF方式に比べ、同トラフィックに関する平均ホップ数は小さく、ノード4→3の出力キュー平均滞在時間は大きい。したがって、迂回の効果はALF方式の方がSQ+B方式より大きいことがわかる。

4.2 環形ネットワーク

(1) 負荷が一様な場合

環形ネットワークの場合について、3種類のルート選択方式のもとでの平均転送時間を、一様な負荷の函数として表わしたのが図4である。総じて、3方式の間で顕著な差異はみられない。高負荷状態(18,750 bit/sec)のとき、全体的最適化を行うPLU方式は、局所的最適化を行うALF方式やSQ+B方式に比べて、ややすぐれている程度である。

この場合の関連データを表2に示

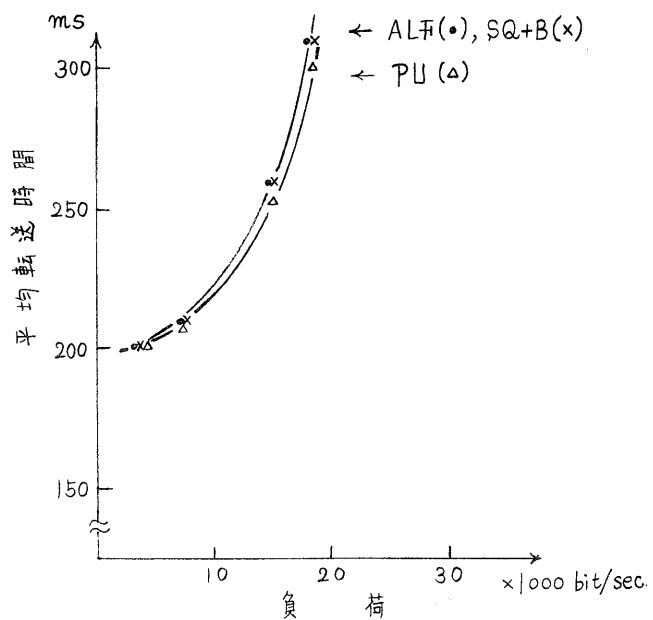


図4. 環形ネットワークにおける平均転送時間

表2. 環形ネットワークにおける性能比較

(1) 負荷が一様な場合 (18,750 bit/sec)			
	SQ+B	PLU	ALF
平均ホップ数	1.80	1.81	1.80
出力キュー平均滞在時間 (ms)	172	166	173
(2) 負荷に偏りがある場合 (2→1 / その他 = 16/1)			
	SQ+B	PLU	ALF
平均転送時間 (ms)	200	181	189
平均ホップ数	1.57	1.55	1.54
平均転送時間 (4→1) (ms)	367	341	355
平均ホップ数 (4→1)	3.06	3.01	3.00
出力キュー 2→1 の平均滞在時間 (ms)	161	144	156

す。平均ホップ数は、すべて同様であり、ループ現象は生じていない。出力キュー平均滞在時間は、PU方式が、ALB方式やSQ+B方式よりやや小さい。これは、たとえばメッセージがノード4からノード1に転送される場合、ALB方式やSQ+B方式では、ノード4 → 3 および 4 → 5 の出力キューのみの状態からルートを決定するのに対し、PU方式は、これに加えて 3 → 2, 2 → 1, 5 → 6, 6 → 1 の出力キューの状態をも考慮してルートを決定するためと考えられる。

(2) 負荷に偏りがある場合

環形ネットワークにおいて、局所的最適化と全体的最適化との差異は、各出力キューにおける待ちがほぼ同程度である場合は顕著ではないが、トラフィックに偏りがあるときは大きなものとなる。6行6列のトラフィック・マトリックスにおいて、オ2行オ1列の要素、すなわちノード2からノード1に到るトラフィックのみ4メッセージ/sec、対角要素以外のその他の要素はすべて0.25メッセージ/secとした場合の測定値を、表2にあわせて示す。

PU方式は、ALB方式より4%, SQ+B方式より9%, それぞれ平均転送時間が小さい。ノード2 → 1 の出力キュー平均滞在時間も、PU方式は、ALB方式やSQ+B方式より減少している。ノード2 → 1 の出力キューにおける待ちが多いとき、PU方式ではこれをノード4やノード3で知ることができ、ノード4からノード1に到るメッセージには4 → 5 → 6 → 1, ノード3からノード6に到るメッセージには3 → 4 → 5 → 6といふルートを選択する。ALB方式やSQ+B方式においては、このような迂回は期待できず、4 → 3 → 2 → 1ないし3 → 2 → 1 → 6 のルートもとられるため、ノード2 → 1 の出力キューにおける待ちが増大する。

ALB方式とSQ+B方式との差異は、ノード4からノード1に到るトラフィックに関する平均ホップ数からも明らかのように、後者ではループ現象が発生したためである。ALB方式は、この点に関してSQ+B方式よりすぐれており、PU方式との差異は比較的小さい。

4.3 日本列島形ネットワーク

(1) 負荷が一様な場合

日本列島形ネットワークについて、3種類のルート選択方式のもとでの平均転送時間を、一様な負荷の函数として表わしたのが図5である。負荷が高くなるにつれ、PU方式やSQ+B方式は、ALB方式より平

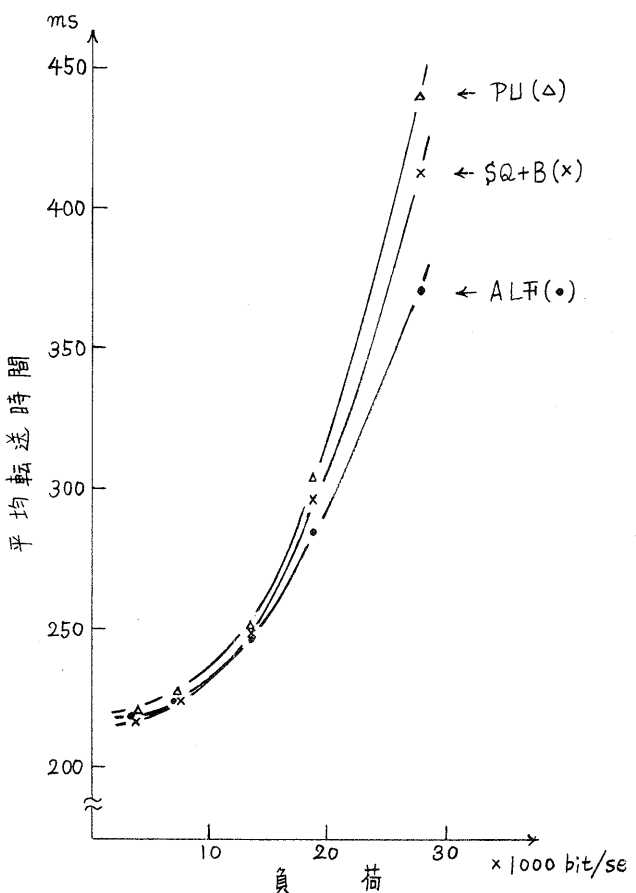


図5. 日本列島形ネットワークにおける平均転送時間

均転送時間が増大する。28,000 bit/sec の高負荷のもとで、ALF 方式は、PLU 方式より 16%，SQ+B 方式より 10%，それぞれ平均転送時間が減少している。

表 3 に、この場合の関連データを示す。PLU 方式は、平均ホップ数、出力キュー平均滞在時間とも、ALF 方式より増大しており、ループ現象ないし不適切な迂回が発生したことを示唆している。PLU 方式においては、負荷が高く、ひんぱんに最適路が変化するようなとき、性能が低下する恐れがある。一方、SQ+B 方式は、ALF 方式に比べ、平均ホップ数はほぼ同様であるが、出力キュー平均滞在時間が増大している。これは、SQ+B 方式においては、隣接ノードの出力キューにおける待ちの状態が全く不明なため、迂回の効果が小さかったと考えることができる。

(2) 負荷に偏りがある場合

日本列島形ネットワークにおいて、トラフィックに偏りがある場合の測定結果を、表 3 におわせて示す。8 行 8 列のトラフィック・マトリックスにおいて、オ 6 行オ 3 列およびオ 7 行オ 4 列の要素、すなわちノード 6 からノード 3 に到るトラフィックと、ノード 7 からノード 4 に到るトラフィックのみ 4 メッセージ/sec、その他は 0.25 メッセージ/sec とする（ただし、対角要素は 0）。

ALF 方式は、平均転送時間において、PLU 方式より 12%，SQ+B 方式より 20%，それぞれ減少している。特に、ノード 8 からノード 2 に到るトラフィックに着目すると、3 方式のうちで SQ+B 方式の性能低下が著しい。同トラフィックに関する平均ホップ数、ノード 6 → 3, 7 → 4 の出力キュー平均滞在時間、がすべて増大していることから、SQ+B 方式のもとで、6 → 7 → 6 のようなループ現象がひんぱんに発生したと考えることができる。一般に、SQ+B 方式においては、トラフィックに偏りがあり、迂回先における最短路の待ちがいずれも大きいとき、しばしばループ現象を生ずる可能性がある。

5. おわりに

ループ現象の発生を抑止することにより、速く、確実なメッセージ転送を可能とする、適応ループ・フリー (Adaptive Loop Free) 方式とよばルート選択方式を提案した。シミュレーションにより、従来の代表的な適応型ルート選択方式であ

表 3. 日本列島形ネットワークにおける性能比較

(1) 負荷が一様な場合 (28,000 bit/sec)			
	SQ+B	PLU	ALF
平均ホップ数	2.18	2.39	2.15
出力キュー平均滞在時間 (ms)	189	184	173
(2) 負荷に偏りがある場合 (6→3, 7→4 / その他 = 16/1)			
	SQ+B	PLU	ALF
平均転送時間 (ms)	266	241	213
平均ホップ数	1.98	1.81	1.67
平均転送時間 (8→2) (ms)	586	544	499
平均ホップ数 (8→2)	4.55	4.37	4.20
出力キュー 6→3 の平均滞在時間 (ms)	181	164	158
出力キュー 7→4 の平均滞在時間 (ms)	184	177	162

3) Periodic Updating 方式, Shortest Queue plus Bias 方式と比較したところ、梯形および日本列島形ネットワークにおいて、すぐれた性能が観察された。

適応ループ・フリー方式は、ミニ・コンピュータ HITAC-10Ⅱ(16 K words)を蓄積交換機として、実験的に実現されており、今後機会があれば、改良を加えていく予定である。

(参考文献)

- 1) G. L. Fultz, Adaptive Routing Techniques for Message Switching Computer-Communication Networks, U C L A - E N G - 7252, U C L A , July 1972 .
- 2) R. L. Pickholtz, et al., Improvements in Routing in a Packet - Switched Network, Proceedings of the I C C C '74, T3230 , 1974 , 249 - 252 .
- 3) F. E. Heart, et al., The Interface Message Processor for the ARPANET Computer Network, Proceedings of the S J C C , 1970 , 551 - 567 .
- 4) T. Ito, et al., Packet Switching Subnet of JIPNET System, Proceedings of the 2nd U J C C , 1975 , 459 - 463 .